

# Analisi degli errori per un modello di code fluide markoviane

Gian Maria Negri Porzio

8 Giugno 2016



# Piano della presentazione

- ① Modello e risultati preliminari
- ② Capacità infinita
- ③ Capacità finita
- ④ Risultati numerici



# Il modello

Siamo interessati a fluidi che scorrono in un sistema a buffer singolo. I tassi di entrata e di uscita sono descritti da una Catena di Markov irriducibile  $S(t)$  sullo spazio

$$S = \{1, 2, \dots, M\}.$$



# Il modello

Siamo interessati a fluidi che scorrono in un sistema a buffer singolo. I tassi di entrata e di uscita sono descritti da una Catena di Markov irriducibile  $S(t)$  sullo spazio

$$S = \{1, 2, \dots, M\}.$$

Chiamiamo  $A := (A_{ij}) \in \mathbb{R}^{M \times M}$  il generatore infinitesimale di  $S(t)$ .



# Il modello

Definiamo:

- $X(t)$  la quantità di fluido nel buffer a tempo  $t$ .
- $d(s)$  il tasso netto della variazione del fluido nello stato  $s$ .

La dinamica del processo è descritta dalle seguenti equazioni:



# Il modello

Capacità del buffer infinita:

$$\frac{dX(t)}{dt} = \begin{cases} d(s)^+ & S(t) = s, \quad X(t) = 0 \\ d(s) & S(t) = s, \quad X(t) > 0 \end{cases}$$



# Il modello

Capacità del buffer infinita:

$$\frac{dX(t)}{dt} = \begin{cases} d(s)^+ & S(t) = s, \quad X(t) = 0 \\ d(s) & S(t) = s, \quad X(t) > 0 \end{cases}$$

Capacità del buffer  $B \in \mathbb{R}^+$ :

$$\frac{dX(t)}{dt} = \begin{cases} d(s)^+ & S(t) = s, \quad X(t) = 0 \\ d(s) & S(t) = s, \quad 0 < X(t) < B \\ d(s)^- & S(t) = s, \quad X(t) = B \end{cases}$$



# Alcune definizioni

- $F(s, x) := \lim_{t \rightarrow \infty} \mathbb{P}\{S(t) = s, X(t) \leq x\}$ .
- $F(x) = [F(1, x), \dots, F(M, x)]$ .
- $q(x) = \lim_{t \rightarrow \infty} \mathbb{P}\{X(t) > x\} = 1 - F(x)e$ .
- $\pi$  vettore invariante,  $\pi A = 0$ ,  $\pi e = 1$ .
- Matrice del drift  $E = \text{diag}[d(1), \dots, d(M)]$ .
- Drift  $d = \langle \pi, \text{diag } E \rangle$ .



# Assunzioni

## Assunzione (1)

E è invertibile, ovvero  $d(s) \neq 0$  per ogni  $s$ .

## Assunzione (2)

Se la capacità del buffer è **infinita**, allora  $d < 0$ .



# L'equazione differenziale

## Teorema

*$F(x)$  soddisfa l'equazione differenziale*

$$\frac{dF(x)}{dx}E = F(x)A,$$

*con  $F(s, 0) = 0$  se  $d(s) > 0$ . Se la capacità del buffer è  $B$ , si aggiunge l'ulteriore condizione  $F(s, B) = \pi_s$  se  $d(s) < 0$ .*



# Spectral Divide-and-Conquer

Dato il pencil  $\lambda E - A$ , trovare due matrici ortonormali  $Q, Z$  tali che

$$Q^T(\lambda E - A)Z = \begin{bmatrix} \lambda E_{11} - A_{11} & \lambda E_{12} - A_{12} \\ 0 & \lambda E_{22} - A_{22} \end{bmatrix}$$



# Spectral Divide-and-Conquer

Dato il pencil  $\lambda E - A$ , trovare due matrici ortonormali  $Q, Z$  tali che

$$Q^T(\lambda E - A)Z = \begin{bmatrix} \lambda E_{11} - A_{11} & \lambda E_{12} - A_{12} \\ 0 & \lambda E_{22} - A_{22} \end{bmatrix}$$

e che

- 1 lo spettro  $\lambda E_{11} - A_{11} \subset \mathbb{C}^{+0}$
- 2 lo spettro  $\lambda E_{22} - A_{22} \subset \mathbb{C}^{-}$



# Additive Decomposition

Dato il pencil  $\lambda E - A$ , trovare due matrici  $U, V$  tali che

$$U^{-1}(\lambda E - A)V = \begin{bmatrix} \lambda E_{11} - A_{11} & 0 \\ 0 & \lambda E_{22} - A_{22} \end{bmatrix}$$



# Additive Decomposition

Dato il pencil  $\lambda E - A$ , trovare due matrici  $U, V$  tali che

$$U^{-1}(\lambda E - A)V = \begin{bmatrix} \lambda E_{11} - A_{11} & 0 \\ 0 & \lambda E_{22} - A_{22} \end{bmatrix}$$

e che

- 1 lo spettro  $\lambda E_{11} - A_{11} \subset \mathbb{C}^{-0}$
- 2 lo spettro  $\lambda E_{22} - A_{22} \subset \mathbb{C}^{+}$



# Capacità infinita: spettro

Consideriamo ora il caso di un buffer a capacità infinita.  
Conosciamo a priori una parte della struttura spettrale dell'equazione differenziale.



# Capacità infinita: spettro

Consideriamo ora il caso di un buffer a capacità infinita.  
Conosciamo a priori una parte della struttura spettrale dell'equazione differenziale.

Siano  $S_-$ ,  $S_+$  gli insiemi degli stati tali che  $d(s) < 0$  e  $d(s) < 0$  e  $M_-$ ,  $M_+$  le rispettive cardinalità. Allora l'equazione ha  $M_+$  autovalori in  $\mathbb{C}^-$ , uno all'origine e  $M_- - 1$  in  $\mathbb{C}^+$ .



# Condizioni al contorno

Traduciamo le condizioni al contorno del teorema.

- 1  $\lim_{x \rightarrow \infty} F(x) = \pi$ .
- 2 Per  $s \in S_+$ ,  $F(s, 0) = 0$ .



# Approccio tradizionale

Un'idea molto intuitiva consiste in

- 1 Calcolare gli autovalori  $\lambda_i$  e gli autovettori sinistri  $\phi_i$  del pencil  $\lambda E - A$ .
- 2 Normalizzare  $\phi_{M_++1} = \pi$ .
- 3  $F(x) = \sum_{i=1}^M a_i e^{\lambda_i x} \phi_i$ .



# Approccio tradizionale

Un'idea molto intuitiva consiste in

- ① Calcolare gli autovalori  $\lambda_i$  e gli autovettori sinistri  $\phi_i$  del pencil  $\lambda E - A$ .
- ② Normalizzare  $\phi_{M_++1} = \pi$ .
- ③  $F(x) = \sum_{i=1}^M a_i e^{\lambda_i x} \phi_i$ .

Dalle condizioni al contorno segue:

- ①  $a_{M_++1} = 1$  e  $a_i = 0$  per  $i > M_+ + 1$ .
- ②  $\sum_{i=1}^{M_++1} a_i \phi_{ij} = 0$  per  $j \in S_+$ .



# Una nuova idea

①  $W(x) := F(x) - \pi.$



# Una nuova idea

- ①  $W(x) := F(x) - \pi$ .
- ② Calcolo di  $Q, Z$ , estrazione di  $E_{11}, A_{11}$  e  $E_{22}, A_{22}$ .



# Una nuova idea

- 1  $W(x) := F(x) - \pi.$
- 2 Calcolo di  $Q, Z$ , estrazione di  $E_{11}, A_{11}$  e  $E_{22}, A_{22}.$
- 3 Definiamo  $\underbrace{[u(x), v(x)]}_{M_- \quad M_+} := W(x)Q, Q = [L_1^T L_2^T].$



# Una nuova idea

- ①  $W(x) := F(x) - \pi$ .
- ② Calcolo di  $Q, Z$ , estrazione di  $E_{11}, A_{11}$  e  $E_{22}, A_{22}$ .
- ③ Definiamo  $\underbrace{[u(x)]}_{M_-}, \underbrace{[v(x)]}_{M_+} := W(x)Q, Q = [L_1^T L_2^T]$ .
- ④  $u(x) = u(0)e^{G_1 x}, G_1 = A_{11}E_{11}^{-1}$ .



# Una nuova idea

- ①  $W(x) := F(x) - \pi$ .
- ② Calcolo di  $Q, Z$ , estrazione di  $E_{11}, A_{11}$  e  $E_{22}, A_{22}$ .
- ③ Definiamo  $\underbrace{[u(x), v(x)]}_{M_- \quad M_+} := W(x)Q, Q = [L_1^T \ L_2^T]$ .
- ④  $u(x) = u(0)e^{G_1 x}, G_1 = A_{11}E_{11}^{-1}$ .
- ⑤  $v(x) = u(0)e^{G_2 x}, G_2 = A_{22}E_{22}^{-1}$ .



# Una nuova idea

- ①  $W(x) := F(x) - \pi$ .
- ② Calcolo di  $Q, Z$ , estrazione di  $E_{11}, A_{11}$  e  $E_{22}, A_{22}$ .
- ③ Definiamo  $\underbrace{[u(x)]}_{M_-}, \underbrace{[v(x)]}_{M_+} := W(x)Q, Q = [L_1^T L_2^T]$ .
- ④  $u(x) = u(0)e^{G_1 x}, G_1 = A_{11}E_{11}^{-1}$ .
- ⑤  $v(x) = u(0)e^{G_2 x}, G_2 = A_{22}E_{22}^{-1}$ .
- ⑥  $u(0) = 0$  e calcolo di  $v(0)$ .



# Una nuova idea

- ①  $W(x) := F(x) - \pi$ .
- ② Calcolo di  $Q, Z$ , estrazione di  $E_{11}, A_{11}$  e  $E_{22}, A_{22}$ .
- ③ Definiamo  $\underbrace{[u(x)]}_{M_-}, \underbrace{[v(x)]}_{M_+} := W(x)Q, Q = [L_1^T L_2^T]$ .
- ④  $u(x) = u(0)e^{G_1 x}, G_1 = A_{11}E_{11}^{-1}$ .
- ⑤  $v(x) = v(0)e^{G_2 x}, G_2 = A_{22}E_{22}^{-1}$ .
- ⑥  $u(0) = 0$  e calcolo di  $v(0)$ .
- ⑦  $W(x) = v(0)e^{G_2 x}L_2$ .



# Capacità finita: spettro

La struttura spettrale cambia leggermente quando la capacità del buffer è finita.



# Capacità finita: spettro

La struttura spettrale cambia leggermente quando la capacità del buffer è finita.

Siano  $n$  gli autovalori con parte reale negativa,  $p$  gli autovalori con parte reale positiva, allora

	$d < 0$	$d > 0$
$n$	$M_+$	$M_+ - 1$
$p$	$M_- - 1$	$M_-$



# Condizioni al contorno

Le condizioni al contorno non differiscono troppo dal caso di capacità infinita:

- 1 Per  $s \in S_-$ ,  $F(s, B) = \pi_s$
- 2 Per  $s \in S_+$ ,  $F(s, 0) = 0$



# Condizioni al contorno

Le condizioni al contorno non differiscono troppo dal caso di capacità infinita:

- 1 Per  $s \in S_-$ ,  $F(s, B) = \pi_s$
- 2 Per  $s \in S_+$ ,  $F(s, 0) = 0$

In analogia col caso infinito, possiamo ottenere:

$$F(x) = \sum_{i=1}^M a_i e^{\lambda_i x} \phi_i.$$



# Approccio tradizionale

I coefficienti  $a_i$  della soluzione tradizionale soddisfano:

$$F(s, B) = \pi_s \implies \sum_{i=1}^M a_i e^{\lambda_i B} \phi_{ij} = \pi_j, \quad j \in S_-$$

$$F(s, 0) = 0 \implies \sum_{i=1}^M a_i \phi_{ij} = 0, \quad j \in S_+$$



# Approccio tradizionale

I coefficienti  $a_i$  della soluzione tradizionale soddisfano:

$$F(s, B) = \pi_s \implies \sum_{i=1}^M a_i e^{\lambda_i B} \phi_{ij} = \pi_j, \quad j \in S_-$$

$$F(s, 0) = 0 \implies \sum_{i=1}^M a_i \phi_{ij} = 0, \quad j \in S_+$$

## Osservazione

Il sistema associato agli  $a_i$  è molto mal condizionato per la presenza di termini esponenziali di segno opposto.



# L'algoritmo FB

Calcoliamo le matrici  $U, V$  tali che:

$$U^{-1}EV = \begin{bmatrix} b & 0 & 0 \\ 0 & E_{11} & 0 \\ 0 & 0 & E_{22} \end{bmatrix}, \quad U^{-1}AV = \begin{bmatrix} 0 & 0 & 0 \\ 0 & A_{11} & 0 \\ 0 & 0 & A_{22} \end{bmatrix}.$$



# L'algoritmo FB

Calcoliamo le matrici  $U, V$  tali che:

$$U^{-1}EV = \begin{bmatrix} b & 0 & 0 \\ 0 & E_{11} & 0 \\ 0 & 0 & E_{22} \end{bmatrix}, \quad U^{-1}AV = \begin{bmatrix} 0 & 0 & 0 \\ 0 & A_{11} & 0 \\ 0 & 0 & A_{22} \end{bmatrix}.$$

- ① I blocchi hanno taglia rispettivamente  $1, n, p$ .
- ② Gli spettri di  $\lambda E_{11} - A_{11}$  e  $\lambda E_{22} - A_{22}$  sono contenuti in  $\mathbb{C}^-$  e  $\mathbb{C}^+$



# L'algoritmo FB

Definiamo

$$F(x) = t(x) \underbrace{L_1}_1 + u(x) \underbrace{L_2}_n + v(x) \underbrace{L_p}_p, \quad \text{dove } U^{-1} = \begin{bmatrix} L_1 \\ L_2 \\ L_3 \end{bmatrix}$$



# L'algoritmo FB

Definiamo

$$F(x) = t(x) \underbrace{L_1}_1 + u(x) \underbrace{L_2}_n + v(x) \underbrace{L_p}_p, \quad \text{dove } U^{-1} = \begin{bmatrix} L_1 \\ L_2 \\ L_3 \end{bmatrix}$$

Segue facilmente che

$$\begin{aligned} \frac{du(x)}{dx} E_{11} &= u(x) A_{11}, & \frac{dv(x)}{dx} E_{22} &= v(x) A_{22}, \\ \frac{dt(x)}{dx} &= 0. \end{aligned}$$



# L'algoritmo FB

Siano  $G_1 = A_{11}E_{11}^{-1}$ ,  $G_2 = A_{22}E_{22}^{-1}$ . Ricaviamo

$$\begin{aligned} F(x) &= cL_1 + u(0)e^{G_1x}L_2 + v(0)e^{G_2x}L_3 \\ &= cL_1 + u(0)e^{G_1x}L_2 + v(B)e^{-G_2(B-x)}L_3 \end{aligned}$$



# L'algoritmo FB

Siano  $G_1 = A_{11}E_{11}^{-1}$ ,  $G_2 = A_{22}E_{22}^{-1}$ . Ricaviamo

$$\begin{aligned} F(x) &= cL_1 + u(0)e^{G_1x}L_2 + v(0)e^{G_2x}L_3 \\ &= cL_1 + u(0)e^{G_1x}L_2 + v(B)e^{-G_2(B-x)}L_3 \end{aligned}$$

## Osservazione

Scegliere  $v(B)$  invece di  $v(0)$  permette di ottenere un sistema ben condizionato.



# Calcolo dei coefficienti

Costruiamo le matrici di permutazione  $T \in \mathbb{R}^{M \times M_+}$  e  $N \in \mathbb{R}^{M \times M_-}$  tali che

$$ET = E^+, \quad EN = E^-$$



# Calcolo dei coefficienti

Costruiamo le matrici di permutazione  $T \in \mathbb{R}^{M \times M_+}$  e  $N \in \mathbb{R}^{M \times M_-}$  tali che

$$ET = E^+, \quad EN = E^-$$

Siano  $\bar{L}_i = L_i T$  e  $\tilde{L}_i = L_i N$ . Le condizioni al contorno si leggono:

$$\begin{aligned} [0 \ \dots \ 0] &= c\bar{L}_1 + u(0)\bar{L}_2 + v(B)e^{-G_2 B}\bar{L}_3 \\ \pi N &= c\tilde{L}_1 + u(0)e^{G_1 B}\tilde{L}_2 + v(B)\tilde{L}_3 \end{aligned}$$



# Calcolo dei coefficienti

Otteniamo infine il sistema:

$$[0 \ \pi N] = [c \ u(0) \ v(B)] \begin{bmatrix} \bar{L}_1 & \tilde{L}_1 \\ \bar{L}_2 & e^{G_1 B} \tilde{L}_2 \\ e^{-G_2 B} \bar{L}_3 & \tilde{L}_3 \end{bmatrix}$$

## Osservazione

I termini esponenziali hanno autovalori con parte reale negativa, dunque il sistema è ben condizionato.



# Errori considerati

Per valutare la stabilità del metodo abbiamo valutato le quantità

$$\varepsilon_{\infty} := \|[F(0)T, F'(0)E - F(0)A]\|_1$$

$$\varepsilon_{\text{fin}} := \|[F(0)T, F'(0)E - F(0)A, F(B)N - \pi N, F'(B)E - F(B)A]\|_1$$

Tutti gli algoritmi sono stati implementati con Julia 0.4.5.



# Casi esaminati

Abbiamo analizzato tre diversi scenari:

- 1 A tridiagonale Toeplitz [0.7 - 0.8 0.1]



# Casi esaminati

Abbiamo analizzato tre diversi scenari:

① A tridiagonale Toeplitz [0.7 - 0.8 0.1]

②  $A =$

$$\begin{bmatrix} -\lambda^{-1} & \lambda^{-1} & & 0 \\ \lambda & -(\lambda + \lambda^{-2}) & \lambda^{-2} & \\ & \ddots & \ddots & \lambda^{-(n-1)} \\ 0 & & \lambda^{n-1} & -\lambda^{n-1} \end{bmatrix}$$



# Casi esaminati

Abbiamo analizzato tre diversi scenari:

① A tridiagonale Toeplitz [0.7 - 0.8 0.1]

② A =

$$\begin{bmatrix} -\lambda^{-1} & \lambda^{-1} & & 0 \\ \lambda & -(\lambda + \lambda^{-2}) & \lambda^{-2} & \\ & \ddots & \ddots & \lambda^{-(n-1)} \\ 0 & & \lambda^{n-1} & -\lambda^{n-1} \end{bmatrix}$$

③ A uniformemente distribuita in  $[0, 1]$ .



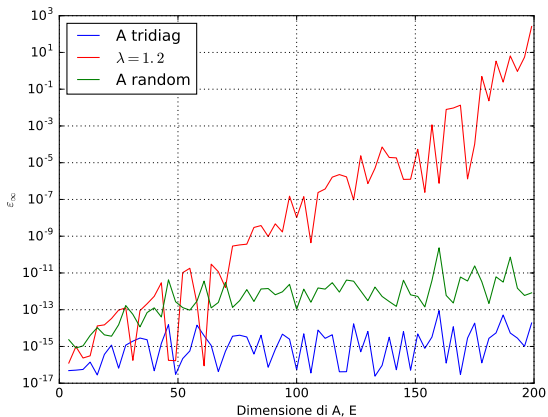
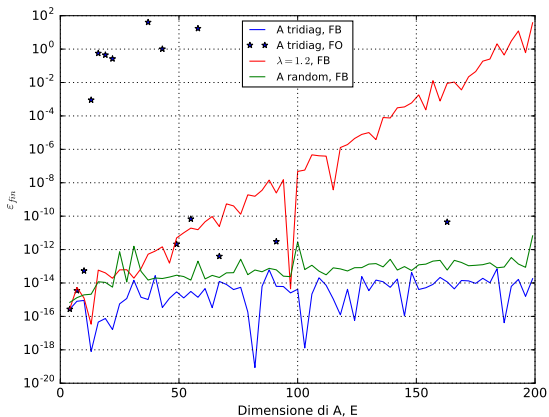
Figura: Capacità infinita, errore  $\varepsilon_\infty$  al variare della dimensione dello spazio.

Figura: Capacità finita, errore  $\varepsilon_{\text{fin}}$  al variare della dimensione dello spazio.



# Variazione del drift

Abbiamo anche analizzato come si comporta questo metodo modificando i valori di  $E$ , la matrice del drift.

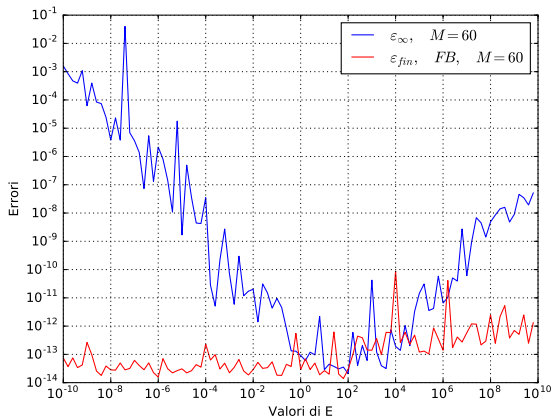


# Variazione del drift

Abbiamo anche analizzato come si comporta questo metodo modificando i valori di  $E$ , la matrice del drift.

In questo modo influenziamo gli autovalori del pencil  $\lambda E - A$  e il drift  $d = \langle \pi, \text{diag } E \rangle$

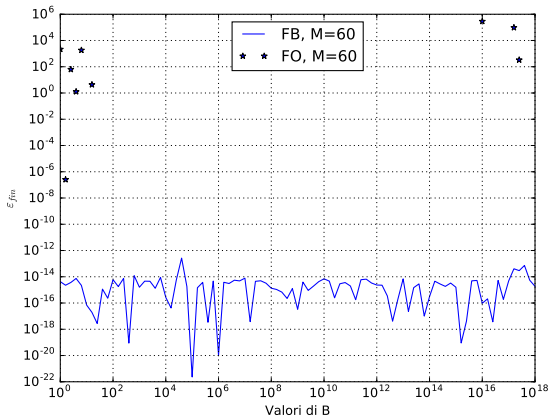


Figura: Errori al variare del drift  $d = \langle \pi, \text{diag } E \rangle$ , A random.

# Variazione della capacità del buffer

L'ultima sperimentazione riguarda il parametro  $B$ , ovvero la capacità del buffer nel caso finito.



Figura: Errore  $\varepsilon_{fin}$  al variare della capacità del buffer, A random.

# Considerazioni finali

- Abbiamo descritto un algoritmo stabile per un modello di coda per fluidi.



# Considerazioni finali

- Abbiamo descritto un algoritmo stabile per un modello di coda per fluidi.
- Nel caso finito la stabilità si preserva anche in situazioni estreme.



# Considerazioni finali

- Abbiamo descritto un algoritmo stabile per un modello di coda per fluidi.
- Nel caso finito la stabilità si preserva anche in situazioni estreme.
- Non è stato testato su dati reali.



# Considerazioni finali

- Abbiamo descritto un algoritmo stabile per un modello di coda per fluidi.
- Nel caso finito la stabilità si preserva anche in situazioni estreme.
- Non è stato testato su dati reali.
- Si potrebbero ottenere ulteriori incrementi della precisione migliorando SDC e AD.

